

## 基础研究

## miR-205通过下调ZEB1和ZEB2表达抑制肾小管上皮细胞转分化

曹罗元, 杨菁, 富显果, 林应华, 林峰, 黄宝英

福建医科大学附属宁德市医院中心实验室, 福建 宁德 352100

**摘要:**目的 探讨miR-205在肾小管上皮细胞转分化的作用机制。方法 将miR-205 mimics和scrambled control分别转染HK-2转分化细胞株,采用real-time qPCR检测miR-205和ZEB1、E-cadherin、 $\alpha$ -SMA mRNA的表达水平;运用Western blotting检测ZEB1、ZEB2、E-cadherin、 $\alpha$ -SMA的表达水平。通过细胞免疫组化检测 $\beta$ -catenin的异位表达情况和E-cadherin的表达情况。结果 miR-205 mimics转染HK-2转分化细胞株后,ZEB1和ZEB2的表达水平较高糖组得到大幅下调( $P<0.01$ ),而E-cadherin的表达水平较高糖组显著提高( $P<0.01$ ),同时间质细胞特征分子 $\alpha$ -SMA的表达水平显著降低( $P<0.01$ )。miR-205 mimics也显著抑制了HK-2转分化过程中 $\beta$ -catenin异位表达,在维持上皮细胞的形态方面也起着重要的作用。结论 miR-205可通过下调ZEB1和ZEB2的表达,抑制了肾小管上皮间质转分化进程。

**关键词:**miR-205;转分化;HK-2细胞株;ZEB1

## The MicroRNA miR-205 inhibits epithelial-mesenchymal transition in HK-2 cells by down-regulating ZEB1 and ZEB2 expressions

CAO Luoyuan, YANG Jing, FU Xianguo, LIN Yinghua, LIN Feng, HUANG Baoying

Central Laboratory, Ningde Municipal Hospital, Affiliated Hospital of Fujian Medical University, Ningde 352100, China

**Abstract: Objective** To explore the role of miR-205 in regulating epithelial-mesenchymal transition (EMT) in proximal tubular cell line HK-2 cells and the underlying mechanism. **Methods** HK-2 cells transfected with miR-205 mimics or a scrambled control sequence were examined for miR-205 expressions and mRNA levels of ZEB1, E-cadherin, and  $\alpha$ -SMA using real-time qPCR; the protein levels of ZEB1, ZEB2, E-cadherin, and  $\alpha$ -SMA were detected with Western blotting. Immunohistochemistry was performed to examine the ectopic expression of  $\beta$ -catenin and E-cadherin expression in the cells. **Results** The expression levels of ZEB1 and ZEB2 decreased significantly ( $P<0.01$ ) while E-cadherin expression was up-regulated ( $P<0.01$ ) in cells transfected with miR-205 mimics. Transfection with miR-205 mimics also markedly down-regulated the expression of  $\alpha$ -SMA ( $P<0.01$ ), a marker of mesenchymal cells that play an important role in EMT of HK-2 cells. The ectopic expression of  $\beta$ -catenin was inhibited by miR-205 mimics in HK-2 cells. **Conclusion** miR-205 inhibits EMT in HK-2 cells by down-regulating the expression levels of ZEB1 and ZEB2.

**Key words:** miR-205; epithelial-mesenchymal transition; HK-2 cells; ZEB1

肾小管上皮细胞转分化(epithelial-mesenchymal transition, EMT)过程中产生的细胞外基质在肾间质中的积聚是慢性肾纤维化的主要病因<sup>[1]</sup>。EMT过程涉及上皮细胞经历表型的改变,包括细胞黏性和极性的丧失,获得具有迁移能力的间质细胞特征<sup>[2-5]</sup>,在肾纤维化过程中,约12%成纤维细胞来源于骨髓,约30%的成纤维细胞则是来源于肾小管上皮细胞的转分化过程<sup>[6]</sup>,而成纤维细胞是转分化过程中产生的细胞外基质的主

要成分<sup>[7]</sup>。波动性高糖能显著促进内皮细胞、心肌细胞的纤维化进程<sup>[8]</sup>。高糖诱导上皮细胞转分化的可能机制是:高糖导致活性氧的增多,而活性氧通过激活多种生长因子与激素类因子,导致细胞外基质的沉积<sup>[9]</sup>。本课题组在前期研究中已建立波动高糖诱导肾小管上皮细胞转分化模型,且在实验中也得到了验证<sup>[10]</sup>。

miRNAs是一类分布广泛而非编码蛋白质的RNAs,一般约含18~24个寡核苷酸,它们不具有开放阅读框,虽然不编码蛋白质,但参与机体各种重要的生理和病理过程;它们通过与靶mRNA 3'UTR(untranslated region)区的碱基互补配对,使其降解或抑制其表达,从而导致特定基因的沉默。miR-21在早期糖尿病肾病中下调表达,过表达miR-21能够抑制模型小鼠系膜细胞的增殖并降低其24 h尿蛋白排泄率<sup>[11]</sup>。高糖环境中肾

收稿日期:2016-08-13

基金项目:福建省自然科学基金(2012J01435);福建医科大学科技发展专项基金(FZS13022Y);福建省卫计委青年科研课题(2013-1-50)

作者简介:曹罗元,硕士,实验师,E-mail: 278512344@qq.com

通信作者:黄宝英,教授,主任医师,硕士生导师,E-mail: Doctor\_hby@aliyun.com

小管上皮细胞 miR-29a 的表达水平降低,因 miR-29a 可通过调控胶原 IV 型基因转录过程中 3'UTR 位点,使胶原 IV 型蛋白的表达水平得以下调,从而改善肾脏纤维化病情<sup>[12]</sup>。mir-192 的过表达促进了 TGF-β1 诱导肾脏纤维化进程,而敲除 mir-192 时则抑制了肾脏纤维化的发展<sup>[13]</sup>。miR-200a、miR-21、miR-8 与 Wnt/β-catenin 信号途径密切相关<sup>[14]</sup>,miR-146a,miR-145,miR-217 在肾纤维化中也发挥重要的作用<sup>[15-17]</sup>。EMT 过程中 miR-205 表达下降,但 ZEB1 表达增强了,从而抑制了上皮细胞粘性分子 E-cadherin 的表达水平,促进了 EMT 过程的发生和发展进程<sup>[18]</sup>。miR-200 家族(miR-200a,-200b,-200c,-141,-429)和 miR-205 在 EMT 过程中表达下调超过 100 倍<sup>[19]</sup>。既往研究表明,特异性 miRNAs 的差异表达在肾小管上皮细胞转分化过程中发挥着重要的作用,但关于 mir-205 在转分化过程中的调控机制方面尚未见文献报道。通过靶基因扫描,miR-205 在 ZEB1 和 ZEB2 3'UTR 存在调控结合位点;本研究发现,mir-205 可通过下调 ZEB1 和 ZEB2 的表达水平以抑制肾小管上皮细胞转分化进程。

1 材料和方法

1.1 材料

人肾近端小管上皮细胞系 HK-2 购自美国 ATCC。Real-time qPCR 试剂盒购自 TaKaRa 公司;培养基 D-MEM/F12、胰蛋白酶(Trypsin)、胎牛血清购自 Gibco 公司,D-glucose 购自 Sigma 公司,脂质体 2000 购自 Thermo 公司,DAB 显色试剂盒和苏木素染色液购自碧云天生物技术公司。miRNeasy mini 试剂盒均购自 Qiagen 公司。ZEB1、ZEB2、E-cadherin、β-catenin 和 α-SMA 抗体均购自 Abcam 公司,所用内参和二抗购自 santa cruz 公司。实时定量 PCR 引物委托上海吉玛制药技术有限公司合成。

Applied Stepone plus PCR 仪购自美国 ABI,NanoDrop-1000 仪购自德国 NanoDrop 技术公司,25 cm<sup>2</sup> 培养瓶和细胞培养板购自美国 Corning,研究型倒置显

微镜购自日本 Olympus。

1.2 细胞培养

HK-2 细胞培养于 D-MEM/F12 培养基中,内含 10 %胎牛血清、100 U/mL 青霉素和 100 μg/mL 链霉素,在 37 ℃、5% CO<sub>2</sub> 孵箱中培养,1~2 d 换液,据生长情况用胰酶消化传代。采用波动高糖建立 HK-2 转分化模型,将生长状态良好的 HK-2 细胞均匀接种于 6 孔板中,细胞融合达到 60%左右,无血清培养基饥饿培养 12 h 后,分为正常组和波动高糖组(D-Glucose 5.5 mmol/L 与 D-Glucose 25 mmol/L 交替培养,波动周期为 12 h)培养,48 h 后进行建模评估,正常组和建模有效组进入后续实验。

1.3 细胞分组和转染

有效建模组分为波动高糖对照组(HG)、阴性对照组(SC, 25 nmol/L scrambled control)、mir-205 干预组(MG, 25 nmol/L miR-205-5p mimics),将 SC 和 MG 组按照 Invitrogen 说明书将待转染的 miRNA oligomer 与脂质体 2000 均匀混合后,室温静置 20 min 后滴入各组细胞孔板,6 h 后换完全培养基液,以上 3 组采用波动高糖培养;正常组为 D-Glucose 5.5 mmol/L 常规培养。所有分组均在 37 ℃、5% CO<sub>2</sub> 培养箱中培养 3 d,分别收集 48 h 和 72 h 细胞。

1.4 定量 PCR 检测

各组细胞转染后 48 h 收集各组细胞,提取细胞总 RNA,用分光光度计定量检测 RNA 质量。先将 RNA 样品逆转录为 cDNA,以 cDNA 为模板定量样本中 miR-205、ZEB1、E-cadherin、α-SMA 和 GAPDH 表达量。miR-205 和 U6 snRNA 采用 TaKaRa SYBR PrimeScript™ miRNA RT-PCR Kit,非 miRNA 组采用 TaKaRa SYBR Fast qPCR Mix Kit,各组均采用 Applied StepOnePlus Real-Time PCR System 进行扩增。采用特异性引物序列见表 1。miR-205 以 U6 snRNA 为内参,非 miRNA 组以 GAPDH 为内参。根据公式计算目的基因相对含量:2<sup>-ΔΔCT</sup>,即得到各组的相对含量,实验独立重复 3 次。

表 1 实时荧光定量 PCR 引物  
Tab.1 Primers used in real-time qPCR

Genes	Forward Primer	Reverse primer
miR-205	5'CATACCTCCTTCATTCCACCG3'	5'TATGGTTTGTGACGACTGTGTGAT3'
U6 snRNA	5'ATTGGAACGATACAGAGAAGATT3'	5'GGAACGCTTCACGAATTTG3'
ZEB1	5'TTCAAACCCATAGTGGTTGCT3'	5'TGGGAGATACCAAACCAACTG3'
E-cadherin	5'CCCACCACGTACAAGGGTC3'	5'ATGCCATCGTTGTTCACTGGA3'
α-SMA	5'GAAGAAGAGGACAGCACTG3'	5'TCCCATTCACCACATCAC3'
GAPDH	5'ACCCAGAAGACTGTGGATGG3'	5'CAGTGAGCTTCCCGTTCAG3'

chinaXiv:201712.00233v1

### 1.5 免疫细胞化学检测 $\beta$ -catenin和E-cadherin表达情况

将赖氨酸处理过的无菌盖玻片爬片放于6孔板中,按实验分组处理48 h。细胞用4%的多聚甲醛固定,3%  $H_2O_2$  室温孵育 10 min 灭活内源性过氧化物酶,0.1% Triton X-100 孵育 20 min,10% BSA 封闭。分别加入  $\beta$ -catenin 和 E-cadherin 抗体(1:50),4  $^{\circ}C$  过夜(PBS 为阴性对照)。漂洗后滴加二抗(1:50)孵育 2 h,DAB 显色,苏木素对比复染、漂洗。Olympus IX71 倒置研究型显微镜观察拍照( $\times 400$ )。

### 1.6 Western blot 检测 ZEB1、ZEB2、E-cadherin 和 $\alpha$ -SMA 的表达

分别收集各组培养 72 h 的细胞,用预冷 PBS 洗 3 遍,加入细胞裂解液 RIPA 和蛋白酶抑制剂,冰浴 30 min (每 10 min 振荡 10 s),4  $^{\circ}C$ 、12 000 r/min 离心 10 min,提取细胞总蛋白;BCA 法测定蛋白浓度。取细胞裂解蛋白 30  $\mu g$ ,经 10% SDS-PAGE 凝胶电泳 2 h,PVDF 转膜(200 mA、1 h);5% 脱脂奶粉封闭 PVDF 膜 2 h,分别加入 E-cadherin、 $\alpha$ -SMA、ZEB1 和 ZEB2 抗体,4  $^{\circ}C$  过夜,洗膜后加辣根过氧化物酶标记的羊抗兔抗体或羊抗小鼠抗体(1:5000 稀释),37  $^{\circ}C$  孵育 1 h;洗膜后加 ECL 试剂,然后将 PVDF 膜放入 Bio-Rad 化学发光成像系统

中成像,每组实验独立重复 3 次。所得免疫印迹通过 Image J 软件获得各实验组与内参灰度值的比值。

### 1.7 统计学分析

实验数据以均数 $\pm$ 标准差表示,用 SPSS 13.0 软件进行方差分析,以  $P < 0.05$  为差异有统计学意义。

## 2 结果

### 2.1 波动高糖诱导 HK-2 细胞转分化模型建立

HG 组中的细胞形态变为具有间质细胞形态的梭形(图 1),E-cadherin 表达水平大幅降低, $\alpha$ -SMA 表达水平显著提高(图 2,4),同时细胞核中的  $\beta$ -catenin 的异位表达水平明显增强(图 3),说明 HK-2 细胞经波动高糖培养建立 HK-2 转分化模型是成功的。

### 2.2 miR-205 对维持 HK-2 内皮细胞形态的作用

实验各组 HK-2 细胞培养 72 h,通过倒置显微镜观察细胞形态,发现 HG 组细胞较 NG 组发生明显形态改变,NG 组细胞为椭圆形的形态,为正常内皮细胞细胞;而 HG 组细胞转变为具有间质细胞形态的梭形,但 MG 组梭形细胞较 HG 组和 NC 组的比例明显下降(图 1)。说明 miR-205 mimics 对维持 HK-2 内皮细胞形态具有积极的作用。

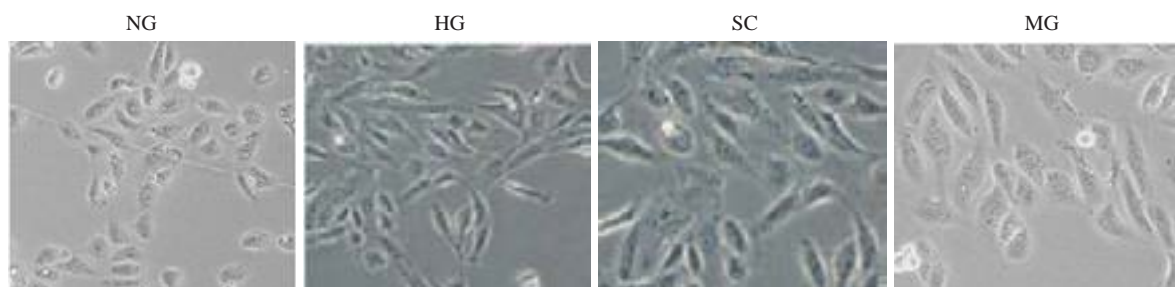


图1 各组细胞形态改变

Fig.1 Morphological changes of HK-2 cells with different treatments (Original magnification:  $\times 400$ ). NG group: Cells cultured in 5.5 mmol/L D-glucose; HG group: Cells exposed intermittently to high glucose (25 mmol/L D-glucose); SC group: Cells exposed intermittently to high glucose and transfected with 25 nmol/L scrambled control; MG group: Cells exposed intermittently to high glucose and transfected with 25 nmol/L miR-205 mimics.

### 2.3 miR-205 mimics 对 ZEB1、E-cadherin 和 $\alpha$ -SMA mRNA 的影响

通过 targetscan 靶点扫描,获得 miR-205 在转分化过程中潜在的作用靶点为 ZEB1 和 ZEB2,ZEB1 和 ZEB2 在转分化过程中是 E-cadherin 的转录抑制因子。通过实时荧光定量 PCR 检测,如图 2C 所示,HG 组的 E-cadherin mRNA 相对表达量较 NG 组显著下降( $P < 0.01$ ),而且 HG 组  $\alpha$ -SMA mRNA 相对表达较 NG 组显著增强( $P < 0.01$ ),符合 HK-2 细胞在转分化过程中所具有的特性。HG 组 miR-205 的相对表达量较 NG 组大幅下降( $P < 0.01$ ),MG 组中 miR-205 相对表达量较 HG 组

显著提高( $P < 0.01$ )(图 2B)。同时,MG 组中 ZEB1 mRNA 相对表达量较 HG 组有显著下降( $P < 0.01$ ),E-cadherin mRNA 相对表达量较 HG 组显著提高( $P < 0.01$ ),而  $\alpha$ -SMA mRNA 相对表达量较 HG 显著下降( $P < 0.01$ )。这说明 HK-2 细胞在转分化过程中,miR-205 对转分化进程发挥着重要的作用,而且增强 miR-205 的表达有利于抑制 HK-2 细胞的转分化过程。

### 2.4 miR-205 mimics 抑制 $\beta$ -catenin 异位表达和维持上皮细胞极性

如图 3 细胞免疫组化结果所示,波动高糖 HG 组中的  $\beta$ -catenin 的表达聚集在细胞核中,E-cadherin 的表达



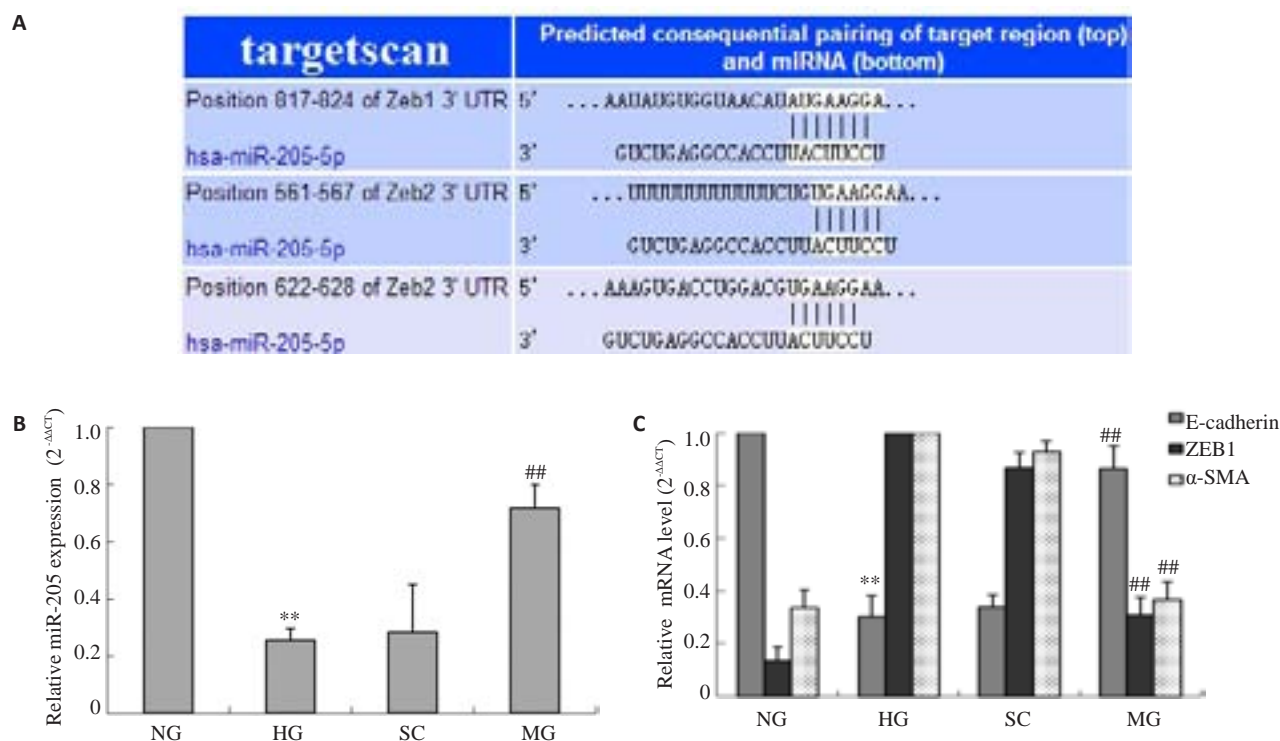


图2 miR-205对ZEB1、E-cadherin和 $\alpha$ -SMA mRNA的影响

Fig.2 Effects of miR-205 on ZEB1, E-cadherin and  $\alpha$ -SMA mRNA expressions in HK-2 cells. **A:** Targetscan analysis of the 3'UTR of the ZEB1 and ZEB2 genes, which contain binding sites for miR-205; **B:** Relative miR-205 expression; **C:** Effects of miR-205 mimics on ZEB1, E-cadherin and  $\alpha$ -SMA mRNA in HK-2 cells. \*\* $P < 0.01$  vs NG group; \*\* $P < 0.01$  vs HG group.

量较NG组明显下降,符合上皮细胞转分化的特性。但通过miR-205 mimics的干预,MG组的 $\beta$ -catenin表达量得到明显下降,同时增强了E-cadherin的表达。说明miR-205在肾小管上皮细胞向间质细胞转分化过程中,参与了抑制 $\beta$ -catenin的异位表达,对抑制E-cadherin表达下降也发挥着重要的作用。

### 2.5 miR-205 通过下调ZEB1和ZEB2抑制HK-2细胞转分化过程

HG组细胞转染miR-205 mimics后,维持了HK-2上皮细胞椭圆形的细胞形态(图1),增强了上皮细胞粘性重要分子E-cadherin的表达水平(图2,4),降低了间质细胞特征分子 $\alpha$ -SMA的表达水平(图2,4),同时MG组ZEB1和ZEB2的表达量较HG组也得到大幅下调(图2,4)。

ZEB1和ZEB2是上皮细胞向间质细胞转分化过程中E-cadherin的转录抑制因子,提高ZEB1和ZEB2的表达水平,可抑制E-cadherin的表达。本研究发现,通过miR-205 mimics提高miR-205的水平,可显著抑制ZEB1和ZEB2的表达水平(图2,4),促进了E-cadherin的表达,从而抑制了HK-2细胞转分化的过程。

### 3 讨论

miRNAs与靶mRNA的3'UTR区的碱基互补配对

而起作用,使其降解或抑制其表达,从而导致特定基因的沉默,对机体生长、发育及各种疾病尤其是肿瘤的发生和发展具有重要的调节功能。它们调节了多种生物学信号通路,生物信息学数据显示,每个miRNA可以调节数百个靶基因,这也表明miRNAs可能影响所有的信号途径。如在先天性梗阻性肾病肾小鼠上皮细胞中miR-205的逐步增加与肾积水的严重程度呈现正相关<sup>[20]</sup>。同时,miR-205可通过调控SMAD2/SMAD7参与TGF- $\beta$ 1信号途径的调控过程<sup>[21]</sup>,miR-205在造血细胞中有致癌基因的作用<sup>[22]</sup>,而在骨肉瘤中发挥着肿瘤抑制基因功能<sup>[23]</sup>。miR-205和Krüppel样因子具有作为诊疗基底样乳腺癌的生物学标记分子的潜能<sup>[24]</sup>,miR-205也可作为乳腺癌和炎性乳腺癌的治疗学靶点<sup>[25]</sup>。这些研究说明,miR-205在EMT和肿瘤发生过程中发挥着重要的作用,深入研究miR-205功能对相关疾病的诊疗具有重要临床指导意义;但关于miR-205在肾纤维化过程中的功能研究尚未见文献报道。

本研究中,通过 targetscan 进行 miR-205 靶基因扫描,发现 ZEB1 3'UTR 817-824 区域和 ZEB2 3'UTR 561-567/622-628 区域有 miR-205 的结合位点。ZEB1 和 ZEB2 是 E-cadherin 的转录抑制因子,而 E-cadherin 在上皮细胞 EMT 过程中发挥着重要的作用,是具有维持上皮细胞粘性和极性的作用<sup>[2-4]</sup>,也是上皮细胞 EMT

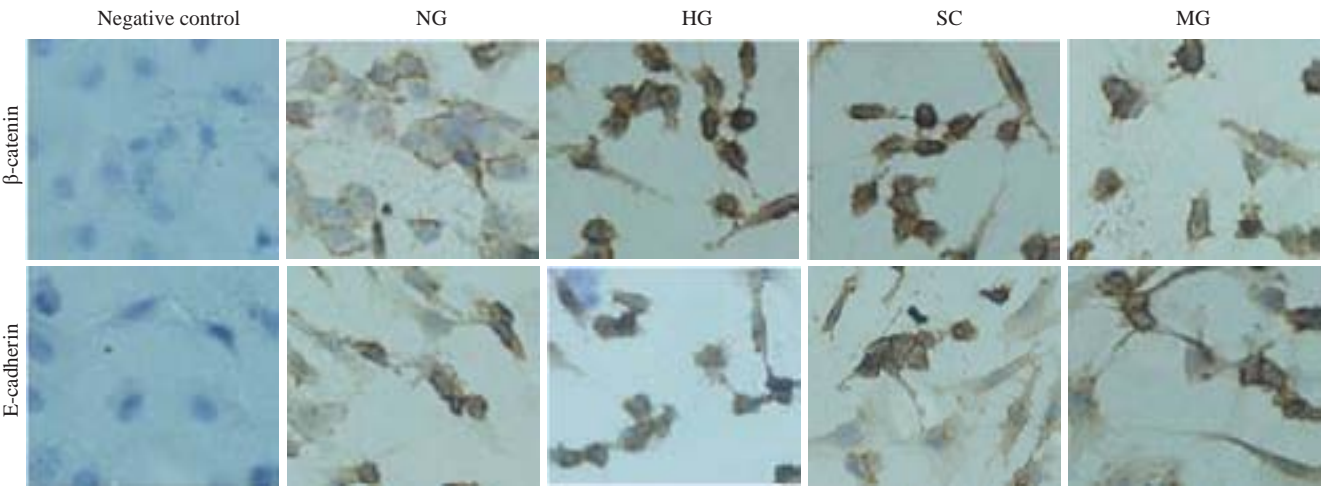


图3 miR-205对β-catenin 和E-cadherin细胞免疫组化的影响  
Fig.3 Effects of miR-205 on β-catenin and E-cadherin expressions in HK-2 cells (immunocytochemistry, ×400).

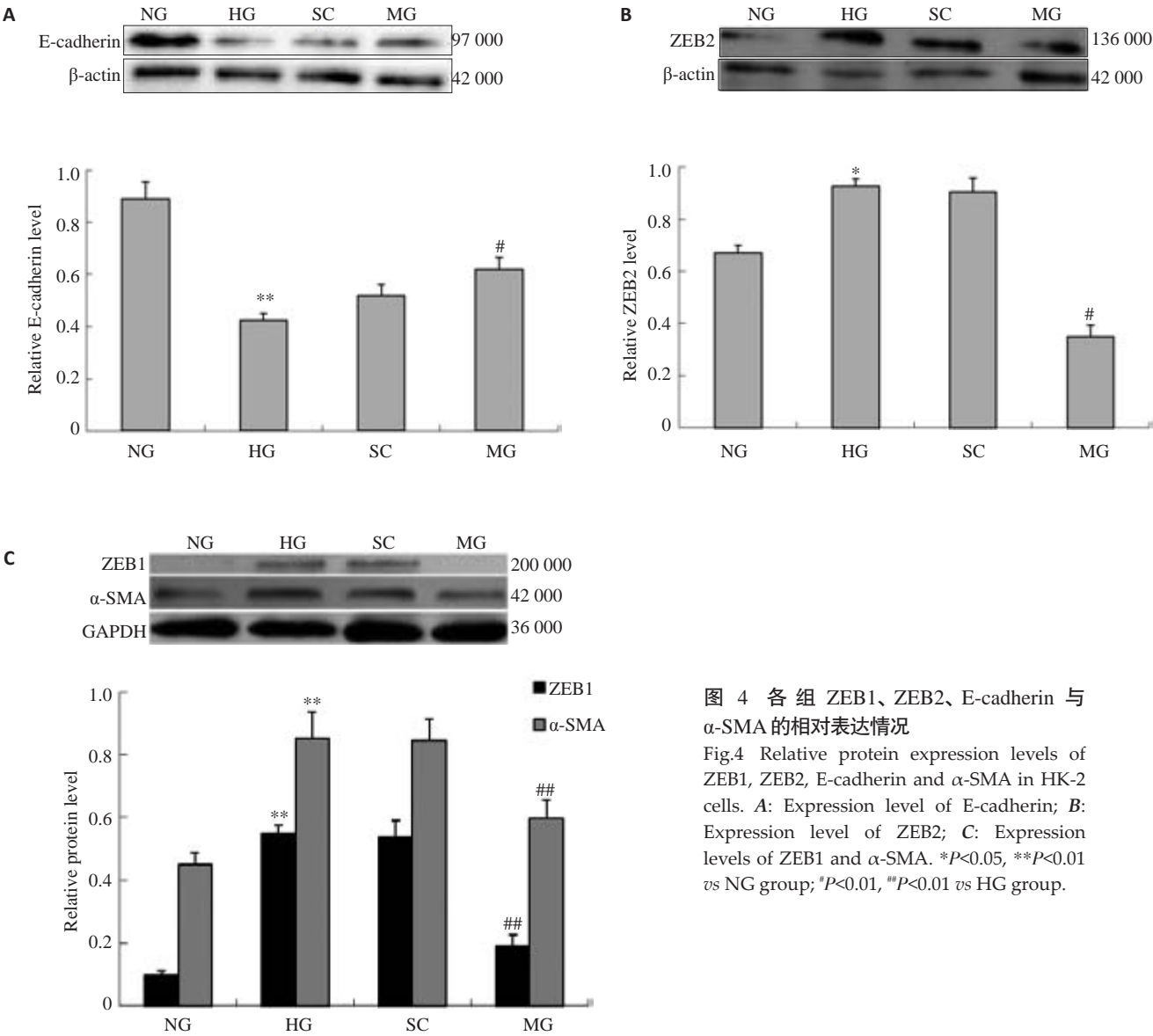


图 4 各组 ZEB1、ZEB2、E-cadherin 与 α-SMA 的相对表达情况

Fig.4 Relative protein expression levels of ZEB1, ZEB2, E-cadherin and α-SMA in HK-2 cells. **A**: Expression level of E-cadherin; **B**: Expression level of ZEB2; **C**: Expression levels of ZEB1 and α-SMA. \* $P<0.05$ , \*\* $P<0.01$  vs NG group; # $P<0.05$ , ## $P<0.01$  vs HG group.

过程的标志性分子。HG组细胞分别转染 scrambled control 和 miR-205 mimics 后, SC 组的各项指标未发现与 HG 组有统计学意义。MG 组中 ZEB1 和 ZEB2 的表达水平较 HG 组得到大幅下调 ( $P < 0.01$ ), 而 E-cadherin 的表达水平较 HG 组显著提高 ( $P < 0.01$ ), 同时间质细胞特征分子  $\alpha$ -SMA 的表达水平显著降低 ( $P < 0.01$ ) (图 2, 4)。miR-205 mimics 也显著抑制了 MG 组中  $\beta$ -catenin 异位表达 (图 3), 在维持上皮细胞的形态方面也起着重要的作用 (图 1)。

研究表明, miR-200 家族的调控靶点都是 ZEB1 和 ZEB2, 它们抑制许多上皮细胞的基因表达, 其中也包括了 E-cadherin<sup>[26]</sup>。也有研究证实过表达 miR-205 可以修复 E-cadherin 的表达<sup>[27]</sup>。本研究发现, 通过 miR-205 mimics 抑制 ZEB1 和 ZEB2 的表达, 也可促进 E-cadherin 在抑制 HK-2 细胞转分化过程中的表达修复。

肾纤维化早期临床病症不明显, 不易被检出, 因此, 探寻一个无创伤性、易于连续监测且能准确反映肾纤维化进程的客观评价指标是肾纤维化早期诊断和防治 CKD 的关键。miRNAs 分子表达水平的变化先于疾病的发生, 而且 miRNAs 的表达具有组织特异性, 疾病状态下 miRNAs 出现差异表达, 这为 miRNAs 作为肾纤维化诊断指标奠定了理论基础; 而近年来的研究进一步验证了 miRNAs 作为疾病诊断的可能性和可行性<sup>[24-25, 28-30]</sup>。

本文通过 miR-205 mimics 对 HK-2 细胞转分化过程中潜在靶点进行研究, 表明 miR-205 的过表达, 通过与 ZEB1 和 ZEB2 3'UTR 特异位点结合, 下调了 ZEB1 和 ZEB2 的表达, 抑制了肾小管上皮间质转分化。综上, miR-205 可通过下调 ZEB1 和 ZEB2 的表达, 以抑制肾小管上皮细胞转分化进程, 为肾间质纤维化的治疗提供了新的靶点。后续将探究肾纤维化患者体液中 miR-205 的差异表达情况, 探寻无创途径的肾纤维化早期临床诊断方法, 这将给临床实践中肾纤维化早期诊断提供科学依据与实践基础。

## 参考文献:

- [1] Liu YH. Cellular and molecular mechanisms of renal fibrosis[J]. Nat Rev Nephrol, 2011, 7(12): 684-96.
- [2] Lovisa S, Zeisberg M, Kalluri R. Partial Epithelial-to-Mesenchymal transition and other new mechanisms of kidney fibrosis[J]. Trends Endocrinol Metab, 2016, 27(10): 681-95.
- [3] Stone RC, Pastar I, Ojeh N, et al. Epithelial-mesenchymal transition in tissue repair and fibrosis[J]. Cell Tissue Res, 2016, 365(3): 495-506.
- [4] Xu MH, Gao X, Luo D, et al. EMT and acquisition of stem cell-like properties are involved in spontaneous formation of tumorigenic hybrids between lung cancer and bone marrow-derived mesenchymal stem cells[J]. PLoS One, 2014, 9(2): e87893.
- [5] Ravikrishnan A, Ozdemir T, Bah M, et al. Regulation of

- Epithelial-to-Mesenchymal transition using biomimetic fibrous scaffolds[J]. ACS Appl Mater Interfaces, 2016, 8: 17915-26.
- [6] Kalluri R, Neilson EG. Epithelial-mesenchymal transition and its implications for fibrosis[J]. J Clin Invest, 2003, 112(12): 1776-84.
- [7] Lebleu VS, Taduri G, O'connell J, et al. Origin and function of myofibroblasts in kidney fibrosis [J]. Nat Med, 2013, 19(8): 1047-53.
- [8] Fragiadaki M, Mason RM. Epithelial-mesenchymal transition in renal fibrosis-evidence for and against[J]. Int J Exp Pathol, 2011, 92(3): 143-50.
- [9] Carew RM, Wang B, Kantharidis P. The role of EMT in renal fibrosis[J]. Cell Tissue Res, 2012, 347(1): 103-16.
- [10] 曹罗元, 黄宝英, 富显果, 等. 波动性高糖对肾小管上皮细胞 Wnt/ $\beta$ -catenin 信号途径的影响[J]. 中国细胞生物学学报, 2012, 34(7): 690-4.
- [11] Zhang Z, Peng H, Chen J, et al. MicroRNA-21 protects from mesangial cell proliferation induced by diabetic nephropathy in db/db mice[J]. FEBS Lett, 2009, 583(12): 2009-14.
- [12] Du B, Ma LM, Huang MB, et al. High glucose down-regulates miR-29a to increase collagen IV production in HK-2 cells[J]. FEBS Lett, 2010, 584(4): 811-6.
- [13] Krupa A, Jenkins R, Luo DD, et al. Loss of MicroRNA-192 promotes fibrogenesis in diabetic nephropathy [J]. J Am Soc Nephrol, 2010, 21(3): 438-47.
- [14] Huang K, Zhang JX, Han L, et al. MicroRNA roles in beta-catenin pathway[J]. Mol Cancer, 2010, 9(1): 252.
- [15] Morishita Y, Imai T, Yoshizawa HA, et al. Delivery of microRNA-146a with polyethylenimine nanoparticles inhibits renal fibrosis *in vivo*[J]. Int J Nanomedicine, 2015, 10: 3475-88.
- [16] Mclendon JM, Joshi SR, Sparks J, et al. Lipid nanoparticle delivery of a microRNA-145 inhibitor improves experimental pulmonary hypertension[J]. J Control Release, 2015, 210: 67-75.
- [17] Han F, Konkalmatt P, Chen JH, et al. miR-217 mediates the protective effects of the dopamine D2 receptor on fibrosis in human renal proximal tubule cells [J]. Hypertension, 2015, 65(5): U856-1118.
- [18] Paterson EL, Kolesnikoff N, Gregory PA, et al. The microRNA-200 family regulates epithelial to mesenchymal transition[J]. Sci World J, 2008, 8: 901-4.
- [19] Gregory PA, Bert AG, Paterson EL, et al. The mir-200 family and mir-205 regulate epithelial to mesenchymal transition by targeting ZEB1 and SIP1[J]. Nat Cell Biol, 2008, 10(5): 593-601.
- [20] Wilhide ME, Feller JD, Li BR, et al. Renal epithelial miR-205 expression correlates with disease severity in a mouse model of congenital obstructive nephropathy [J]. Pediatr Res, 2016, 80(4): 602-9.
- [21] Duan YJ, Chen QX. TGF-beta 1 regulating miR-205/miR-195 expression affects the TGF-beta signal pathway by respectively targeting SMAD2/SMAD7[J]. Oncol Rep, 2016, 36(4): 1837-44.
- [22] Jang SJ, Choi IS, Park G, et al. MicroRNA-205-5p is upregulated in myelodysplastic syndromes and induces cell proliferation *via* PTEN suppression[J]. Leuk Res, 2016, 47: 172-7.

(下转 1711 页)

Am Coll Cardiol, 2005, 45(4): 599-607.

- [11] Hamid SA, Bower HS, Baxter GF. Rho kinase activation plays a major role as a mediator of irreversible injury in reperfused myocardium [J]. Am J Physiol Heart Circ Physiol, 2007, 292(6): H2598-606.
- [12] 叶红伟, 康品方, 王洪巨, 等. 乙醛脱氢酶2在法舒地尔心肌保护作用中的机制探讨[J]. 中国老年学杂志, 2013, 33(5): 1070-2.
- [13] 董淑英, 童旭辉, 刘浩, 等. 石榴多酚对心肌缺血/再灌注损伤大鼠心功能的保护作用[J]. 南方医科大学学报, 2012, 32(7): 924-7.
- [14] 赵亮, 李芝, 钱令波, 等. 海州香薷总黄酮对大鼠离体心脏缺血/再灌注损伤的保护作用[J]. 中国应用生理学杂志, 2014, 30(2): 161-5.
- [15] Chen C, Hu LX, Dong T, et al. Apoptosis and autophagy contribute to gender difference in cardiac ischemia-reperfusion induced injury in rats [J]. Life Sci, 2013, 93(7): 265-70.
- [16] Kang R, Zeh HJ, Lotze MT, et al. The beclin 1 network regulates autophagy and apoptosis [J]. Cell Death Differ, 2011, 18(4): 571-80.
- [17] Vij A, Randhawa R, Parkash J, et al. Investigating regulatory signatures of human autophagy related gene 5 (ATG5) through functional in silico analysis [J]. Meta Gene, 2016, 9: 237-48.
- [18] Cao L, Fu M, Kumar S, et al. Methamphetamine potentiates HIV-1 gp120-mediated autophagy via Beclin-1 and Atg5/7 as a pro-survival response in astrocytes [J]. Cell Death Dis, 2016, 7(10): e2425.
- [19] Hamacher-Brady A, Brady NR, Gottlieb RA. Enhancing macroautophagy protects against ischemia/reperfusion injury in cardiac myocytes [J]. J Biol Chem, 2006, 281(40): 29776-87.
- [20] Wang Y, Shen J, Xiong X, et al. Remote ischemic preconditioning protects against liver Ischemia-Reperfusion injury via Heme oxygenase-1-Induced autophagy [J]. PLoS One, 2014, 9(6): e98834.
- [21] 邱晓晓, 戴雍月, 宋张娟, 等. SP600125对大鼠肺缺血/再灌注损伤的保护作用及机制[J]. 中国应用生理学杂志, 2012, 28(3): 255-8.
- [22] 王洪巨, 康品方, 叶红伟, 等. 乙醛脱氢酶2在糖尿病大鼠心肌缺血/再灌注损伤中的抗凋亡作用[J]. 南方医科大学学报, 2012, 32(3): 345-8.
- [23] Zhang WP, Zong QF, Gao Q, et al. Effects of endomorphin-1 postconditioning on myocardial ischemia/reperfusion injury and myocardial cell apoptosis in a rat model [J]. Mol Med Rep, 2016, 14(4): 3992-8.

(编辑: 经媛)

(上接1705页)

- [23] Zhang C, Long F, Wan J, et al. MicroRNA-205 acts as a tumor suppressor in osteosarcoma via targeting RUNX2 [J]. Oncol Rep, 2016, 35(6): 3275-84.
- [24] Guan B, Li Q, Li XH, et al. MicroRNA-205 targeted Krüppel-like factor 12 and regulated MDA-MB-468 cells apoptosis in basal-like breast carcinoma [J]. Zhonghua Yi Xue Za Zhi, 2016, 96(26): 2070-5.
- [25] Huo L, Wang Y, Gong Y, et al. MicroRNA expression profiling identifies decreased expression of miR-205 in inflammatory breast cancer [J]. Mod Pathol, 2016, 29(4): 330-46.
- [26] Vandewalle C, Van Roy F, Berx G. The role of the ZEB family of transcription factors in development and disease [J]. Cell Mol Life Sci, 2009, 66(5): 773-87.
- [27] Hurteau GJ, Carlson JA, Spivack SD, et al. Overexpression of the microRNA hsa-miR-200c leads to reduced expression of transcription factor 8 and increased expression of E-cadherin [J]. Cancer Res, 2007, 67(17): 7972-6.
- [28] Wang G, Kwan BC, Lai FM, et al. Urinary miR-21, miR-29, and miR-93: novel biomarkers of fibrosis [J]. Am J Nephrol, 2012, 36(5): 412-8.
- [29] Yamada Y, Enokida H, Kojima S, et al. MiR-96 and miR-183 detection in urine serve as potential tumor markers of urothelial carcinoma: correlation with stage and grade, and comparison with urinary cytology [J]. Cancer Sci, 2011, 102(3): 522-9.
- [30] Lv LL, Cao YH, Ni HF, et al. MicroRNA-29c in urinary exosome/microvesicle as a biomarker of renal fibrosis [J]. Am J Physiol Renal Physiol, 2013, 305(8): F1220-7.

(编辑: 吴锦雅)